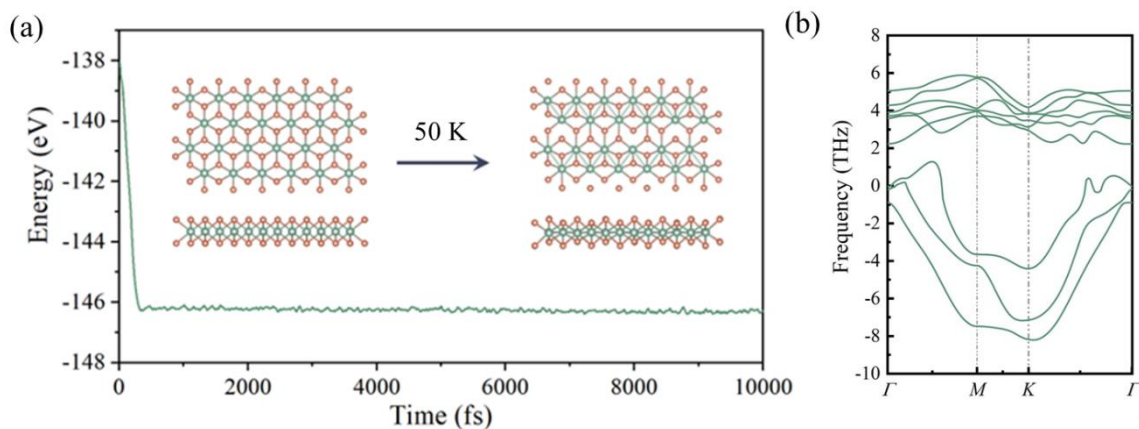
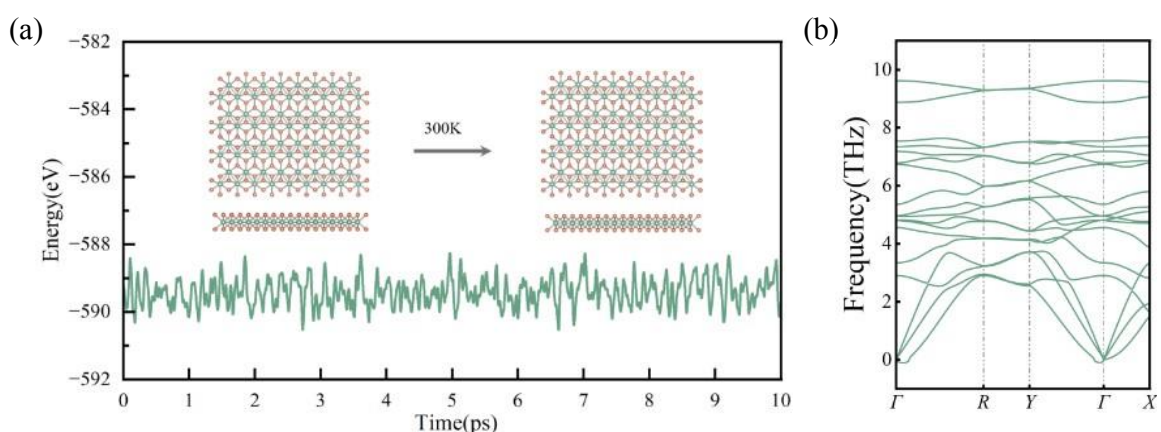


补充材料

结构相变引起单层 RuSe₂载流子迁移率的提高*陆康俊, 王一帆, 夏谦[†], 张贵涛, 陈乾[†]

(东南大学物理学院, 量子材料与信息器件教育部重点实验室, 南京 211189)

图 S1 (a) AIMD 模拟 50 K 时 T 相单层 RuSe₂ 总能量随时间的变化; (b) T 相单层 RuSe₂ 的声子谱FigS1. (a) Variation of the total energy of monolayer T -phase RuSe₂ with time during AIMD simulation at 50 K; (b) phonon spectrum of monolayer T -phase RuSe₂.图 S2 (a)AIMD 模拟 300 K 时 T' 相单层 RuSe₂ 总能量随时间的变化; (b) T' 相单层 RuSe₂ 的声子谱FigS2. (a) Variation of the total energy of monolayer T' -phase RuSe₂ with time during AIMD simulation at 300 K; (b) phonon spectrum of monolayer T' -phase RuSe₂.

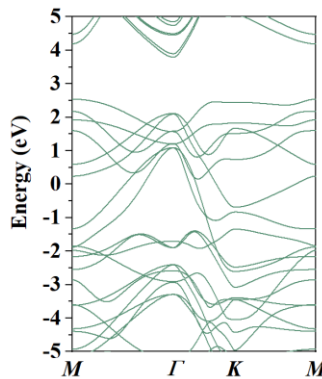

 图 S3 H 相 RuSe_2 单层能带图

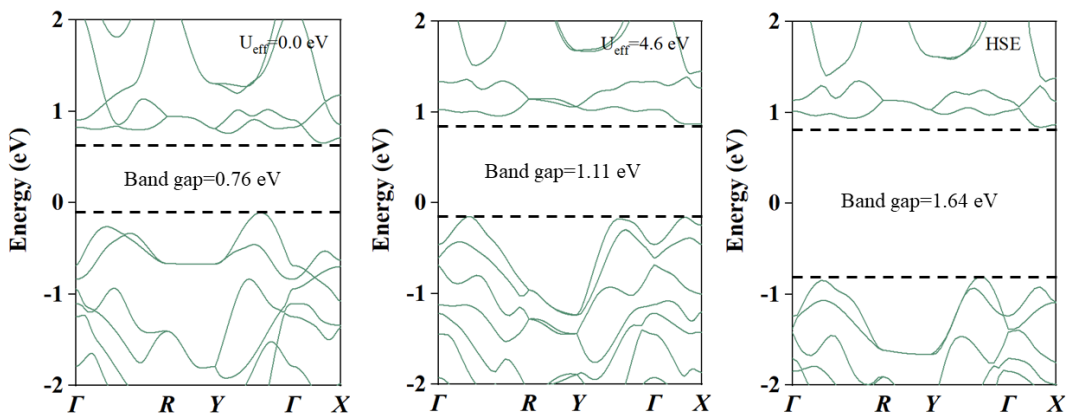
 Fig.S3. Band structure diagram of monolayer H -phase RuSe_2 .

 图 S4 T' 相 RuSe_2 的能带结构图, 从左往右分别为 $U_{\text{eff}}=0$ eV, $U_{\text{eff}}=4.6$ eV 以及 HSE 的计算结果

 Fig.S4. Band structure diagram of T' -phase RuSe_2 , from left to right, represents the calculation results of $U_{\text{eff}}=0$ eV,

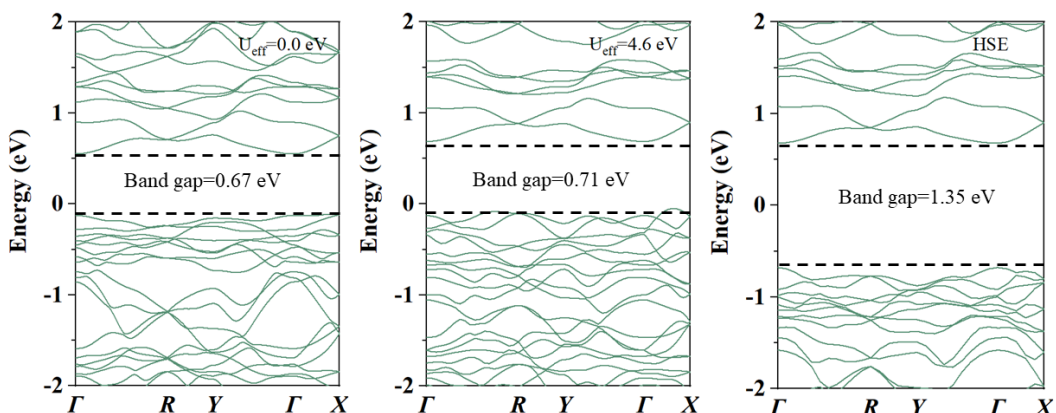
 $U_{\text{eff}}=4.6$ eV, and HSE.

 图 S5 T''' 相 RuSe_2 的能带结构图, 从左往右分别为 $U_{\text{eff}}=0$ eV, $U_{\text{eff}}=4.6$ eV 以及 HSE 的计算结果

 Fig.S5. Band structure diagram of T''' -phase RuSe_2 , from left to right, represents the calculation results of $U_{\text{eff}}=0$
 $e\text{V}$, $U_{\text{eff}}=4.6$ eV, and HSE.

表 S1 从我们的计算中获得的单层 RuSe₂两种畸变相的原子位置，位置坐标以分数坐标的形式表示，z 轴的晶格长度取为 20 Å

Table S1. Atomic positions of the two distortion phases of monolayer RuSe₂ obtained from our calculations, the values given here are represented in the form of fractional coordinates, the lattice parameter along the z-axis is taken as 20 Å.

Phase	Site	Wyckoff symbol	x	y	z
T'	Ru ₁	2e	0.304	0.750	0.501
	Ru ₂	2e	0.695	0.250	0.498
	Se ₁	2e	0.591	0.750	0.416
	Se ₂	2e	0.408	0.250	0.583
	Se ₃	2e	0.089	0.250	0.436
	Se ₄	2e	0.910	0.750	0.563
T''	Ru ₁	4f	0.492	0.386	0.234
	Ru ₂	4f	0.507	0.613	0.765
	Ru ₃	4f	0.507	0.886	0.765
	Ru ₄	4f	0.492	0.113	0.234
	Ru ₅	2e	0.494	0.250	0.826
	Ru ₆	2e	0.505	0.750	0.173
	Se ₁	4f	0.434	0.425	0.608
	Se ₂	4f	0.565	0.574	0.391
	Se ₃	4f	0.565	0.925	0.391
	Se ₄	4f	0.434	0.074	0.608
	Se ₅	4f	0.428	0.921	0.069
	Se ₆	4f	0.571	0.078	0.930
	Se ₇	4f	0.571	0.421	0.930
	Se ₈	4f	0.428	0.578	0.069
	Se ₉	2e	0.403	0.250	0.098
	Se ₁₀	2e	0.596	0.750	0.901
	Se ₁₁	2e	0.565	0.250	0.461
	Se ₁₂	2e	0.434	0.750	0.538